

Univerzita Pavla Jozefa Šafárika v Košiciach
Prírodovedecká fakulta

ALGORITMIZÁČIA, PARALELIZÁČIA A IMPLEMENTÁČIA SPLAJN MODELOV

ANALÝZA A NÁVRH RIEŠENIA PRÁCA

Študijný odbor:	Informatika
Školiace pracovisko:	Ďstav informatiky
Vedúci záverečnej práce:	doc. RNDr. Csaba Tórk, CSc..
Konzultant:	RNDr. Lukáš Miľo

Košice 2015

Bc. Viliam Kačala

Podpísané zadanie práce z AIS2

Abstrakt

Splajny sú dôležitou súčasťou počítačovej grafiky. Jedná sa o matematický model plochy, ktorý slúži na čo najlepší spojenie konečnej množiny bodov. Termom najlepší spojenie v našom prípade znamená hladký, matematicky ľahko vyjadriteľný plocha s čo najmenším zakrivením. Využitie splajnov v grafike je veľmi široké od rôznych CAD aplikácií, v štatistike, alebo v analýze dát. Splajny existujú v mnohých formách, či už vo forme krivky v rovine, rôznych trojrozmerných telies, atď.. Táto práca si dáva za cieľ navrhnúť, analyzovať a implementovať nový algoritmus pre bikubickú interpoláciu v trojrozmernom priestore.

Abstract

Splines are an important part of computer graphics. It is a mathematical model of the surface, which is for the "best connection" of any finite set of points. The term "best connection" in this case means smooth, easily calculable mathematical surface with minimal curvature. Use of splines in graphics varies from a large variety of CAD applications, statistics or in data analysing. Splines exist in many forms, whether in the form of curves in the plane, a variety of three-dimensional bodies, etc. .. This work aims to design, analyze and implement a new algorithm for counting and generating splines bicubic clamped interpolation in three-dimensional space.

Āšvod

Tá©mou mojej diplomovej práĉce sĀš priestorová© splajn povrchy, kde naĹĤm cieĹom je preskĀsmaĹĤ novĀ© poznatky o splajnoch, na ktorĀĹch istĀĹĤas pracuje vedĀsci tejto práĉce doc. RNDr. Csaba TáĹrĀĹk, CSc. VĀĹsledkom tejto práĉce je okrem nĀĹvrhu tejto novej metĀĹdy vĀĹpoĀĤtu aj porovnanie so znĀĹmymi metĀĹdami a implementĀĹcia aplikĀĹcie na vizuĀĹlne porovnáĹvanie jednotlivĀĹch metĀĹd. TechnolĀĹgia v ktorej budeme tieto poznatky implementováĹ je Microsoft Silverlight. JednĀĹ o veĀĹmi schopnĀĹ nĀĹstroj na tvorbu webovĀĹch aplikĀĹcii s plnou podporou hardvĀ©rovej akcelerĀĹcie uĹĹĀvateĹskĀ©ho prostredia. VĀĹhodou tohto frameworku je, keďĹĹe beĹĹĹ na platforme Microsoft .NET, moĹĹno sĹĹĹ jednoduchĹ portĀĹcie na desktopovĀĹš prĀpadne mobilnĀĹš aplikĀĹciu. Ĺ truktĀšra práĉce je nasledovnĀĹ.

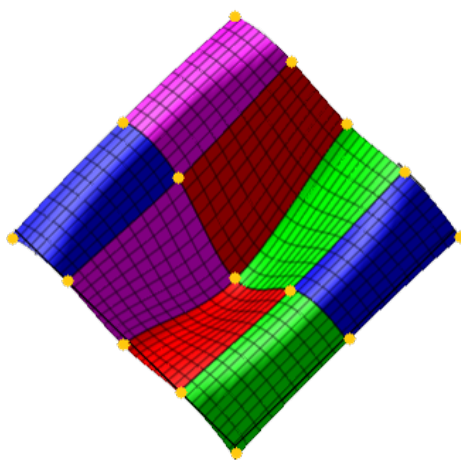
- **Splajn** DefinĀcia pojmu splajn.
- **De Boorova interpolĀĹcia** V tejto ĀĤasti si vysvetĹáme bikubickĀš splajn interpolĀĹciu podĀĹa Carla de Boora.
- **NovĀĹ postup generovania bikubickĀĹch splajnov** UkĀĹĹka modifikovanĀ©ho postupu pre kubickĀ© splajny a jeho rozĹĹĹenie pre bikubickĀ© splajny.
- **ZrĀĹchlenie** OĀĤakĀĹvanĀ© zrĀĹchlenie vĀĹpoĀĤtov novĀĹm algoritmom.
- **ImplementĀĹcia**
Podrobnosti implementĀĹcie v MS Silverlight.

FormĀĹlne tá©zy diplomovej práĉce sĀš:

- AnalĀĹza modelov interpolaĹĤnĀĹch splajn-povrchov a podpory paralelnĀ©ho programovania. .NET Framework
- AlgoritmizĀĹcia, paralelizĀĹciaa vizualizĀĹcia splajn-povrchov.
- ImplementĀĹcia paralelnĀĹch algoritmov vybranĀĹch modelov splajn-povrchov pomocou viacvĹĹknovĀĹch API pre multiprocesorová© systĀ©my a ich porovnanie.

Splajn

V naľej pr ci pracujeme s hermitovsk mi splajnami, ktor  s s ľtandardne triedy C^1 , teda splajnami, ktor ch prv  deriv cie v uzloch sa rovnaj s. V naľej pr ci vľak budeme uvaľovaľ hermitovsk  splajny triedy C^2 , teda splajny pri ktor ch sa v uzloch rovnaj s navyľe aj deriv cie druh ho r du.



Obr. 1: Funkcia $\sin(\sqrt{x^2 + y^2})$ aproximovan  bikubick m splajnom.

Form lnejľie si pop ľme z kladn  pojmy s ktor mi budem v tomto  tľ nku pracovaľ.

Ozna enie 0.1 Postupnosľ (a_0, a_1, \dots) nazveme *rovnomernou* ak pre  ľubovoľn  i, j z $\{0, 1, \dots\}$ plat  $a_{j+1} - a_j = a_{i+1} - a_i$.

Ozna enie 0.2 Nech $f : \mathbb{R} \times \mathbb{R} \rightarrow \mathbb{R}$ je nejak  funkcia a I, J s s z $\mathbb{N} \cup \{0\}$.  zalej nech (u_0, \dots, u_{I+1}) a (v_0, \dots, v_{J+1}) s s dve rovnomern  usporiadan  kone tn  postupnosti re ľnych   sel. Ozna ľme:

- Dvojice (u_i, v_j) nazveme *uzly*.
- Uzly (u_0, v_0) , (u_{I+1}, v_0) , (u_0, v_{J+1}) a (u_{I+1}, v_{J+1}) nazveme *rohov  uzly*.

- $z_{i,j} = f(u_i, v_j)$.
- $dx_{i,j} = \frac{\partial f(u_i, v_j)}{\partial x}$.
- $dy_{i,j} = \frac{\partial f(u_i, v_j)}{\partial y}$.
- $dxy_{i,j} = \frac{\partial f(u_i, v_j)}{\partial x \partial y}$.
- $\Delta x = u_i - u_{i-1}$ a $\Delta y = v_j - v_{j-1}$ pre ľubovoľné $i \in \{1, \dots, I+1\}$, resp. $j \in \{1, \dots, J+1\}$.

Ďalšou je na každom vstupnom uzle hladká, po častiach definovaná funkcia $F : [u_0, u_{I+1}] \times [v_0, v_{J+1}] \rightarrow \mathbb{R}$ z so spojitémi deriváciami prvého a druhého rádu tak, že pre každé $i \in \{0, \dots, I+1\}$ a $j \in \{0, \dots, J+1\}$ platí $F(u_i, v_j) = z_{i,j}$. Funkcia F predstavuje splajn, pričom jej jednotlivé časti nazveme segmenty. Teraz si môžeme splajn zdefinovať formálne.

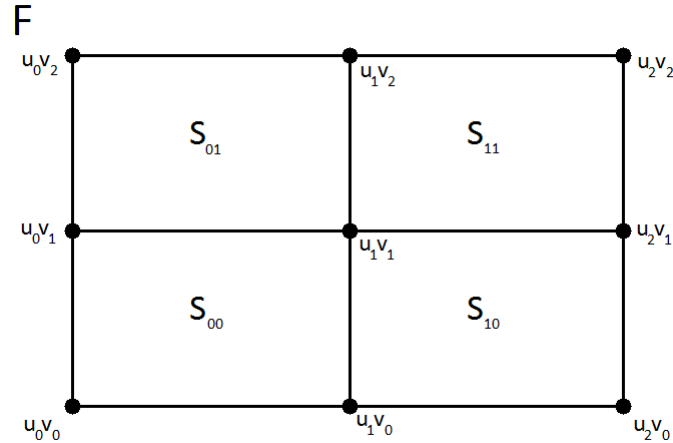
Definícia 0.3 Nech I a J sú prirodzené čísla, $\mathbf{u} = (u_0, \dots, u_{I+1})$ a $\mathbf{v} = (v_0, \dots, v_{J+1})$ sú reálne čísla.

- $I \geq 0$ a $J \geq 0$,
- Postupnosti \mathbf{u} a \mathbf{v} sú rovnomerne rastúce.
- Nech pre každé i z $\{0, \dots, I\}$ a j z $\{0, \dots, J\}$ je $S_{i,j}$ bikubická polynomická funkcia z 2-rozmerného intervalu $[u_i, u_{i+1}] \times [v_j, v_{j+1}]$ do \mathbb{R} .

Definujme funkciu $S_{\mathbf{u}, \mathbf{v}}$ z 2-rozmerného intervalu $[u_0, u_{I+1}] \times [v_0, v_{J+1}]$ do \mathbb{R} vzťahom:

$$S_{\mathbf{u}, \mathbf{v}}(x, y) = \begin{cases} S_{0,0}(x, y) & \text{pre } (x, y) \in [u_0, u_1] \times [v_0, v_1], \\ S_{0,1}(x, y) & \text{pre } (x, y) \in [u_0, u_1] \times [v_1, v_2], \\ \vdots & \\ S_{0,J}(x, y) & \text{pre } (x, y) \in [u_0, u_1] \times [v_J, v_{J+1}], \\ S_{1,0}(x, y) & \text{pre } (x, y) \in [u_1, u_2] \times [v_0, v_1], \\ \vdots & \\ S_{1,J}(x, y) & \text{pre } (x, y) \in [u_1, u_2] \times [v_J, v_{J+1}], \\ \vdots & \\ S_{I,0}(x, y) & \text{pre } (x, y) \in [u_I, u_{I+1}] \times [v_0, v_1], \\ \vdots & \\ S_{I,J}(x, y) & \text{pre } (x, y) \in [u_I, u_{I+1}] \times [v_J, v_{J+1}], \end{cases} \quad (1)$$

pričtom vĺetky susedn  segmenty $S_{i,j}$ majú deriv cie prv ho a druh ho r du v uzloch navz jom rovn .



Obr. 2: Uk ľka uzlov pre ľtvorsegmentov  splajn.

Ak i je z $\{0, \dots, I\}$ a j je z $\{0, \dots, J\}$, tak ľtvorice uzlov (u_i, v_j) , (u_i, v_{j+1}) , (u_{i+1}, v_j) a (u_{i+1}, v_{j+1}) tvoria obd ľnikov  sek nad ktor m sa nach dza splajnov  segment. Kaľd  segment $S_{i,j}$ je bikubick  funkcia z $[u_i, u_{i+1}] \times [v_j, v_{j+1}]$ do \mathbb{R} . V sledn  funkcia F teda vznikne zjednoten m segmentov $S_{i,j}$. Na vygenerovanie kaľd ho segmentu potrebujeme ľtyri uzly, a pre kaľd  uzol pr slu ne hodnoty z , dx , dy a dxy . Tieto hodnoty vieme z ska  bu  priamo z interpolovanej funkcie f , alebo ich vypo  ta  in m sp sobom.

De Boorova interpol cia

Nech s  dan  dan  hodnoty (u_0, \dots, u_{I+1}) a (v_0, \dots, v_{J+1}) , kde I, J s  z $\mathbb{N} \cup \{0\}$, pričtom chceme interpolova  funkciu S na $[u_0, u_I] \times [v_0, v_J]$. V sledn  splajn bude tvoren  $(I+1) \cdot (J+1)$ segmentami. Ako bolo spomenut , kaľd  segment potrebuje ľtyri uzly a hodnoty z , dx , dy a dxy . Pri de Boorovej interpol cii n m treba pozna  tieto hodnoty:

- $z_{i,j}$ pre $i \in \{0, \dots, I+1\}$, $j \in \{0, \dots, J+1\}$.
- $dx_{i,j}$ pre $i \in \{0, I+1\}$, $j \in \{0, \dots, J+1\}$.
- $dy_{i,j}$ pre $i \in \{0, \dots, I+1\}$, $j \in \{0, J+1\}$.

- $dxy_{i,j}$ pre $i \in \{0, I+1\}$, $j \in \{0, J+1\}$.

Na pr klade uzlov z obr zka 2 potrebujeme pozna  hodnoty takto:

- $z_{0,2}, z_{1,2}, z_{2,2},$
 $z_{0,1}, z_{1,1}, z_{2,1},$
 $z_{0,0}, z_{1,0}, z_{2,0},$

- $dx_{0,2}, \quad , dx_{2,2},$
 $dx_{0,1}, \quad , dx_{2,1},$
 $dx_{0,0}, \quad , dx_{2,0},$

- $dy_{0,2}, dy_{1,2}, dy_{2,2},$
 $\quad , \quad ,$
 $dy_{0,0}, dy_{1,0}, dy_{2,0},$

- $dxy_{0,2}, \quad , dxy_{2,2},$
 $\quad , \quad ,$
 $dxy_{0,0}, \quad , dxy_{2,0},$

Zvy n  hodnoty z , dx , dy a dxy vieme jednozna ne vypo ta  pomocou $2(I+1)+J+6$ line rnych s stav s celkovo $3(I+1)(J+1)+I+J+2$ rovnicami: Ni lie uv dzame modelov  rovnice, pomocou ktor ch s  zostrojen  tieto s stavy line rnych rovn c.

Pre $j \in \{0, \dots, J+1\}$

$$dx_{i+1,j} + 4dx_{i,j} + dx_{i-1,j} = \frac{3}{\Delta x}(z_{i+1,j} - z_{i-1,j}),$$

$$i \in \{1, \dots, I\} \quad (2)$$

Pre $j \in \{0, J+1\}$

$$dxy_{i+1,j} + 4dxy_{i,j} + dxy_{i-1,j} = \frac{3}{\Delta x}(dy_{i+1,j} - dy_{i-1,j}),$$

$$i \in \{1, \dots, I\} \quad (3)$$

Pre $i \in \{0, \dots, I+1\}$

$$dy_{i,j+1} + 4dy_{i,j} + dy_{i,j-1} = \frac{3}{\Delta y}(z_{i,j+1} - z_{i,j-1}),$$

$$j \in \{1, \dots, J\} \quad (4)$$

Pre $i \in \{0, \dots, I+1\}$

$$dxy_{i,j+1} + 4dxy_{i,j} + dxy_{i,j-1} = \frac{3}{\Delta y}(dx_{i,j+1} - dx_{i,j-1}),$$

$$i \in \{1, \dots, J\} \quad (5)$$

KaľdÄ z tÄ~chto sÄstav mÄ takÄ~to maticovÄ~ tvar:

$$\begin{pmatrix} 4 & 1 & 0 & \dots & 0 & 0 \\ 1 & 4 & 1 & \dots & 0 & 0 \\ 0 & 1 & 4 & \dots & 0 & 0 \\ \vdots & \vdots & \vdots & \ddots & \vdots & \vdots \\ 0 & 0 & 0 & \dots & 4 & 1 \\ 0 & 0 & 0 & \dots & 1 & 4 \end{pmatrix} \cdot \begin{pmatrix} D_1 \\ D_2 \\ D_3 \\ \vdots \\ D_{N-1} \\ D_N \end{pmatrix} = \begin{pmatrix} \frac{3}{\Delta}(Y_2 - Y_0) - D_0 \\ \frac{3}{\Delta}(Y_3 - Y_1) \\ \frac{3}{\Delta}(Y_4 - Y_2) \\ \vdots \\ \frac{3}{\Delta}(Y_N - Y_{N-2}) \\ \frac{3}{\Delta}(Y_{N+1} - Y_{N-4}) - D_{N+1} \end{pmatrix}, \quad (6)$$

kde podÄľa toho o ktorÄs z modelovÄ~ch rovnÄc sa jednÄ~, hodnoty N , D a Y zadÄ~vame nÄ~sledovne. Nech k z $1, \dots, K-1$:

- $N = I$, $\Delta = \Delta x$, $D_k = dx_{k,j}$ a $Y_k = z_{k,j}$, pre rovnicu 2.
- $N = I$, $\Delta = \Delta x$, $D_k = dxy_{k,j}$ a $Y_k = dy_{k,j}$, pre rovnicu 3.
- $N = J$, $\Delta = \Delta y$, $D_k = dy_{i,k}$ a $Y_k = z_{i,k}$, pre rovnicu 4.
- $N = J$, $\Delta = \Delta y$, $D_k = dxy_{i,k}$ a $Y_k = dx_{i,k}$, pre rovnicu 4.

Tento splajn jednoznaÄ~ne interpoluje funkciu S .

Poznámka 0.4 De Boorova interpolÄ~cia vo vľ~eobecnosti nepredpokladÄ~ len rovnomerne rastÄ~šce postupnosti (u_0, \dots, u_I) a (v_0, \dots, v_J) . NÄ~ľ~ postup v Äžalľ~ej Ä~tasti Ä~tlÄ~nku ale funguje len s takÄ~mito postupnosťami. Preto sme v tejto Ä~tasti popÄsali len ľ~peciÄ~lny prÄpad interpolÄ~cie pre takto urÄ~tenÄ~ uzly.

NovÄ~ postup generovania bikubickÄ~ch splajnov

V rÄ~mci svojej bakalÄ~rskej prÄ~ce som popisoval tento postup pre kubickÄ~ splajnovÄ~ kriovky triedy C2, teda splajny, kde interpolovanÄ~ funkcia f je typu $\mathbb{R} \rightarrow \mathbb{R}$. JednÄ~m z cieľom tejto prÄ~ce je postup zovľ~eobecniÄ~

pre bikubické splajny, teda pre splajny, kde interpolovaná funkcia f je typu $\mathbb{R} \times \mathbb{R} \rightarrow \mathbb{R}$.

Nižšie popíšeme redukovanú systém podľa doc. Tárka pouľavanú pre kubické splajny. Neznáme D_0, \dots, D_{K+1} s hľadane hodnoty prvých derivácií a Y_0, \dots, Y_{K+1} , v prípade kubického splajnu, predstavujú funkčné hodnoty interpolovanej funkcie f v uzloch u_0 a u_{K+1} .

$$\begin{pmatrix} -14 & 1 & 0 & \dots & 0 & 0 \\ 1 & -14 & 1 & \dots & 0 & 0 \\ 0 & 1 & -14 & \dots & 0 & 0 \\ \vdots & \vdots & \vdots & \ddots & \vdots & \vdots \\ 0 & 0 & 0 & \dots & -14 & 1 \\ 0 & 0 & 0 & \dots & 1 & \mu \end{pmatrix} \cdot \begin{pmatrix} D_2 \\ D_4 \\ D_6 \\ \vdots \\ D_{v-2} \\ D_v \end{pmatrix} = \begin{pmatrix} \frac{3}{\Delta}(Y_4 - Y_0) - \frac{12}{\Delta}(Y_3 - Y_1) - D_0 \\ \frac{3}{\Delta}(Y_6 - Y_2) - \frac{12}{\Delta}(Y_5 - Y_3) \\ \frac{3}{\Delta}(Y_8 - Y_4) - \frac{12}{\Delta}(Y_7 - Y_5) \\ \vdots \\ \frac{3}{\Delta}(Y_\nu - Y_{\nu-4}) - \frac{12}{\Delta}(Y_{\nu-1} - Y_{\nu-3}) \\ \frac{3}{\Delta}(Y_{\nu+\tau} - Y_{\nu-2}) - \frac{12}{\Delta}(Y_{\nu+1} - Y_{\nu-1} - \theta D_{K+1}) \end{pmatrix}, \quad (7)$$

kde

$$\begin{aligned} \mu &= -15, \tau = 0, \theta = -4, \text{ a } \nu = K, & \text{ak } K \text{ je párne,} \\ \mu &= -14, \tau = 2, \theta = 1, \text{ a } \nu = K - 1, & \text{ak } K \text{ je nepárne,} \end{aligned} \quad (8)$$

Hodnoty D_k pre nepárne k vypočítame takto:

$$D_k = \frac{1}{4} \left(\frac{3}{\Delta}(Y_{k+1} - Y_{k-1}) - D_{k-1} - D_{k+1} \right), \quad k \in \{1, 3, \dots, \nu + \tau - 1\} \quad (9)$$

Pri kubických splajnoch teda potrebujeme vypočítať len prvú deriváciu D_0, \dots, D_{K+1} v uzloch u_0, \dots, u_{K+1} . Pri bikubických povrchoch máme na základe de Boora 4 typy sústav, kde postupne rátame parciálne derivácie ∂x a ∂y , pričom dvomi typmi z týchto sústav vypočítame parciálne derivácie ∂xy .

Zrúchlenie

Ako pri de Boorovi tak aj pri našom spôsobe generovania derivácií dostávame niekedy systém trojdiagonálnych lineárnych rovníc.

Ľ tandardnĂ~ spĂ~sob rieĽ~enia takĂ~chto rovnĂc

$$\begin{pmatrix} b & 1 & 0 & \dots & 0 & 0 \\ 1 & b & 1 & \dots & 0 & 0 \\ 0 & 1 & b & \dots & 0 & 0 \\ \vdots & \vdots & \vdots & \ddots & \vdots & \vdots \\ 0 & 0 & 0 & \dots & b & 1 \\ 0 & 0 & 0 & \dots & 1 & b \end{pmatrix} \cdot \begin{pmatrix} d_1 \\ d_2 \\ d_3 \\ \vdots \\ d_{K-1} \\ d_K \end{pmatrix} = \begin{pmatrix} r_1 - d_0 \\ r_2 \\ r_3 \\ \vdots \\ r_{K-1} \\ r_K - d_{K+1} \end{pmatrix}, \quad (10)$$

spoĂťĂva v LU dekompozĂcii $\mathbf{A}\mathbf{d} = L \underbrace{U\mathbf{d}}_{\mathbf{y}} = \mathbf{r}$:

$$A = \begin{pmatrix} 1 & 0 & 0 & \dots & 0 & 0 \\ \lambda_2 & 1 & 0 & \dots & 0 & 0 \\ 0 & \lambda_3 & 1 & \dots & 0 & 0 \\ \vdots & \vdots & \vdots & \ddots & \vdots & \vdots \\ 0 & 0 & 0 & \dots & 1 & 0 \\ 0 & 0 & 0 & \dots & \lambda_K & 1 \end{pmatrix}, \begin{pmatrix} v_1 & 1 & 0 & \dots & 0 & 0 \\ 0 & v_1 & 1 & \dots & 0 & 0 \\ 0 & 0 & v_2 & \dots & 0 & 0 \\ \vdots & \vdots & \vdots & \ddots & \vdots & \vdots \\ 0 & 0 & 0 & \dots & v_{K-1} & 0 \\ 0 & 0 & 0 & \dots & 0 & v_K \end{pmatrix}, \quad (11)$$

Pre k z $\{2, \dots, K\}$ sĂs hodnoty v_k a λ_k urĂtenĂ© takto:

$$v_k = b, \left\{ \lambda_k = \frac{1}{v_{k-1}}, v = b - \lambda_k \right\}, k \in \{2, \dots, K\}. \quad (12)$$

Pre priamy a spĂtnĂ~ chod mĂ~me

$$\text{Priamy: } L\mathbf{y} = \mathbf{r}, y_1 = r_1, \{y_k = r_k - \lambda_k\}, k \in \{2, \dots, K\}, \quad (13)$$

$$\text{SpĂtnĂ~: } U\mathbf{d} = \mathbf{y}, d_K = \frac{y_K}{u_K}, \left\{ d_k = \frac{1}{u_k}(y_k - d_{k+1}) \right\}, k \in \{K-1, \dots, 1\}. \quad (14)$$

LU dekompozĂciou sa rieĽ~i ako de Boorova sĂsštava (6), tak aj naĽ~a redukovanĂ~ (7).

Porovnajme si poĂťet operĂ~ciĂ~ nĂ~sobenia pri oboch postupoch. PodĂ~kam, Ľ~e toto konkrĂ~tne porovnanie sa teraz tĂ~ka len pri kubickĂ~ch splajnoch. LU dekompozĂcia a spĂtnĂ~ prechod obsahujĂs operĂ~ciu delenia, ktorĂ~ je v tabuĽke niĽĽ~ie oznaĂťenĂ~ γ . Symbol γ udĂ~va, Ľ~e jedna operĂ~cia delenia mĂ~cenu prĂ~ve γ nĂ~sobenĂ. ReĂ~lna hodnota zĂ~visĂ od procesora, priĂťom bĂ~va rovnĂ~ pribliĽ~ne 3.

MĂ~Ľ~eme vidieĽ~A, Ľ~e vĂ~poĂťet neznĂ~mych redukovanĂ~m algoritmom je rĂ~chlejĽ~ neĽ~ de Boorov. ZrĂ~chlenie je $\frac{4+4\gamma}{5+2\gamma} \approx 1,45$, priĂťom hodnoty d_k , pre nepĂ~rne k (8) mĂ~Ľ~lu byĽ~ poĂťĂtanĂ~ paralelne.

	(12)	(6), (7)	(13)	(14)	(9)		
Spôsob	LU	Matica	LU priamy	LU spätný	Zbytok	Celkovo	Zrýchlenie
de Boor	$\gamma(K-1)$	$1+K$	$K-1$	γK		$2(1+\gamma)K-\gamma$	
Redukovaný	$\gamma(\frac{K}{2}-1)$	$2+2\frac{K}{2}$	$\frac{K}{2}-1$	$\gamma\frac{K}{2}$	$1+2\frac{K}{2}$	$(\frac{5}{2}+\gamma)K+2-\gamma$	$\frac{4+4\gamma}{5+2\gamma}$

Tabuľka 1: Porovnanie spôsobov s zrýchlenie pre K prvkov

Implementácia

Našim cieľom je vytvorenie webovej aplikácie na báze Microsoft Silverlight (ďalej len Silverlight). Silverlight je bezplatný nástroj na tvorbu webových aplikácií spustiteľných priamo vo webovom prehliadači. Samotný vývoj aplikácií má byť prebiehať v ľubovoľnom programovacom jazyku bežiacom pod virtuálnym strojom Common Language Runtime. V našom prípade sme sa rozhodli pre jazyk C#.



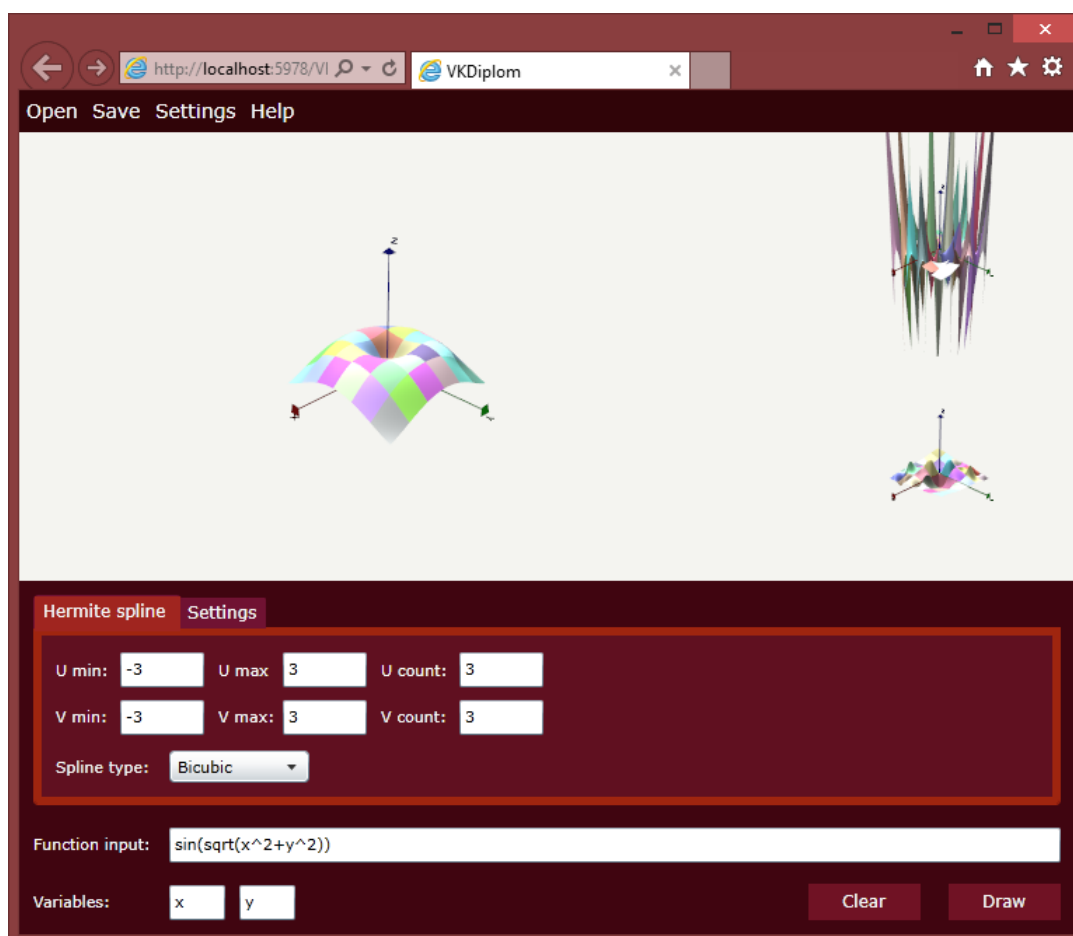
Silverlight je kompatibilný s väčšinou moderných webových prehliadačov a operačných systémov vrátane Microsoft Windows, Apple OS X a vďaka technológii Moonlight – open-source implementácii Silverlight-u aj na väčšine Linuxových distribúcií. Framework je možné použiť aj na vývoj off-line aplikácií v operačnom systéme Windows Phone, Windows 8 a Windows RT.

Poznámka 0.5 Naša aplikácia používa technológie, ktoré nie sú s Moonlight kompatibilné. V súčasnej dobe teda podporujeme iba MS Windows a Apple OS X.

Silverlight ponúka hardvérovú akceleráciu API podporujúcu tvorbu 3D grafických aplikácií a hier. V dobe písania článku je grafický engine a funkčný nástroj uľahčujúci rozhrania hotový. Pracujem teraz na samotnej funkcionalite, ako je vizuálne odlíšenie rozdielov medzi splajnami, benchmarku generovania splajnov a rôznych dodatočných funkcionalít.

Záver

Ciele tejto práce sme spolu so študentami splnili, nový postup sa ukázal funkčným a rýchlym ako predchádzajúce spôsoby. V súčasnej dobe



Obr. 3: Ukážka z aplikácie

nosti je webová aplikácia takmer hotová, implementovali sme všetky postupy z tejto práce pričom sa doлаžujú rôzne detaily a vylepšuje ovládanie užívateľského rozhrania. Predpokladáme, že finálna verzia by mala byť hotová v priebehu mája 2014.

Zoznam použitej literatúry

- [1] David Salomon, Curves and Surfaces for Computer Graphics, Springer, 2006
- [2] I. Szabł, L. MiłŁ, C. Tłłrłk. Biquarticpolynomials in bicubicspline construction, PF UPJł , 2014
- [3] L. MiłŁ: Parametrickł modelovanie dťt komplexnej łtruktłry, PF UPJł , 2014
- [4] C. de Boor: Bicubicspline interpolation, Journal of Mathematics and Physics, 41(3),1962, 212-218.
- [5] J. Albahari, B. Albahari: C# 5.0 in a Nutshell, O'Reilly, 2012